

Fig. 1a

Fig. 1b

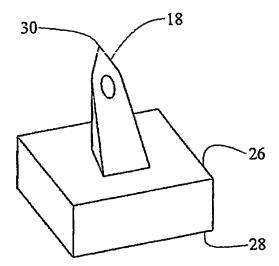


Fig. 2a

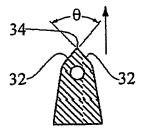


Fig. 2b

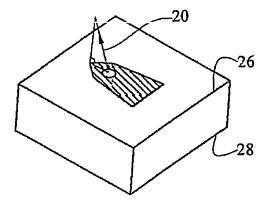


Fig. 2c

3/21

26

Fig. 3a

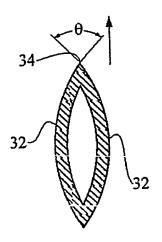


Fig. 3b

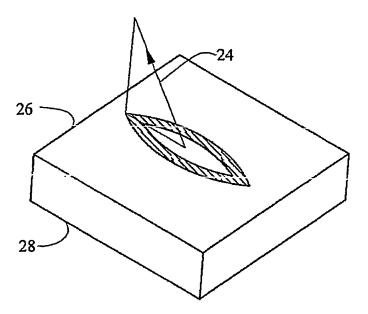


Fig. 3c

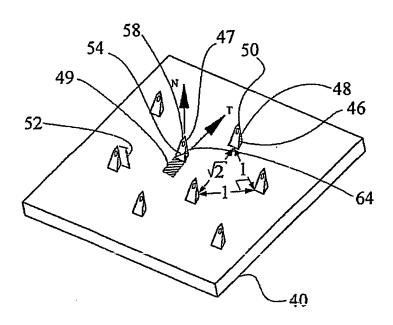
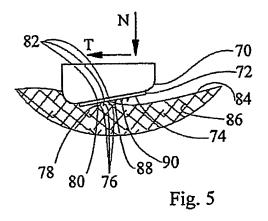


Fig. 4



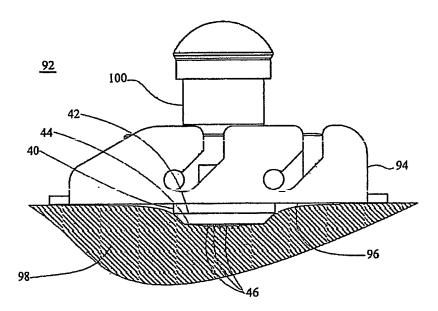


Fig. 6

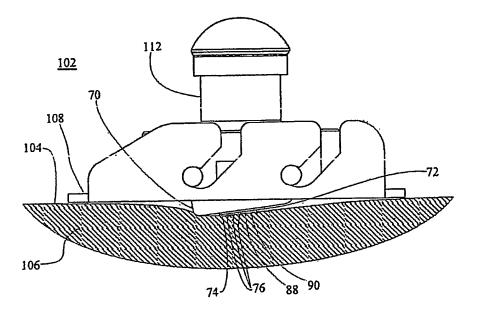
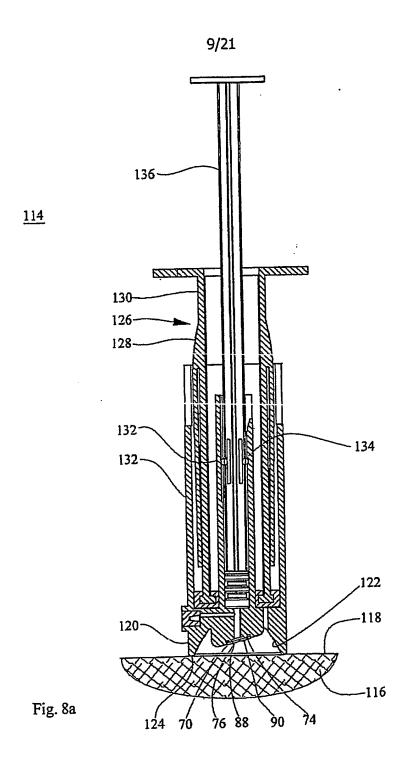
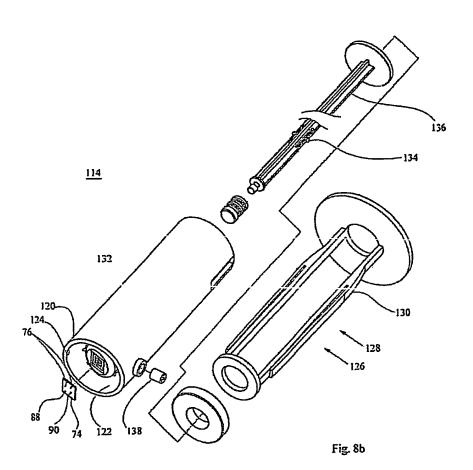
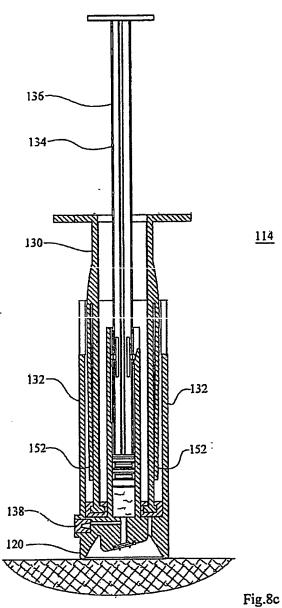


Fig. 7

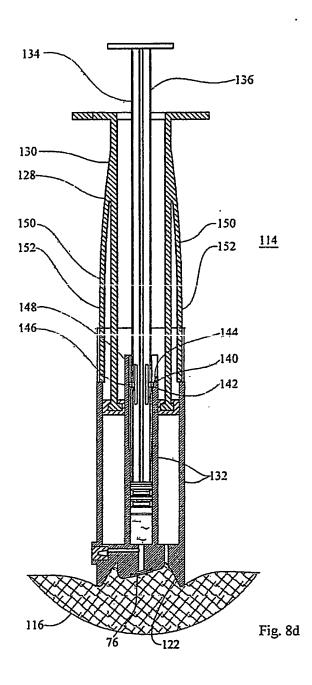




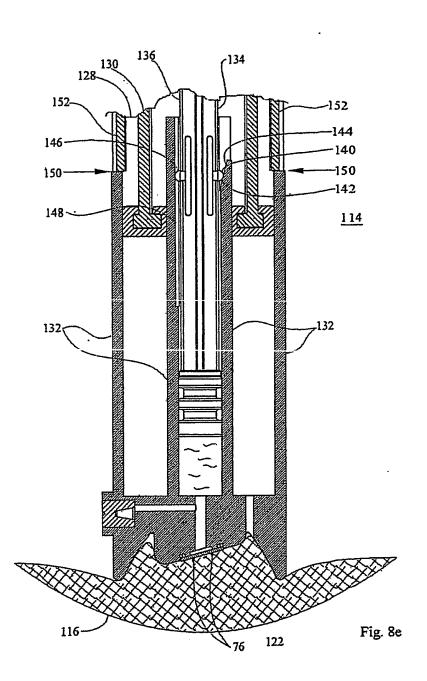
PCT/IL2004/001065 WO 2005/049107



12/21



13/21



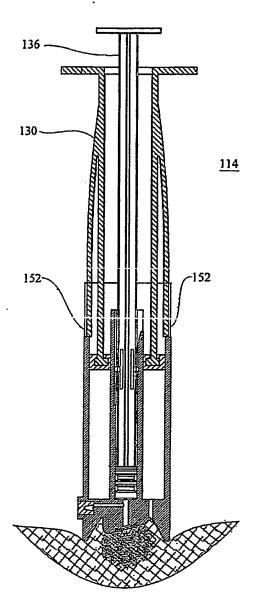
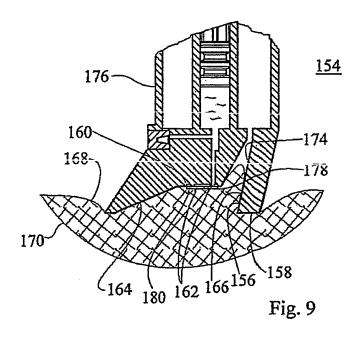


Fig. 8f



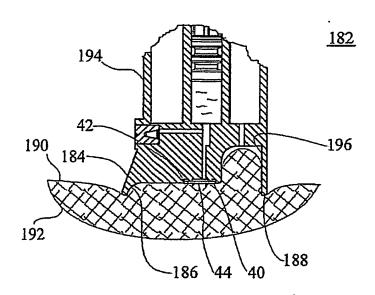


Fig. 10

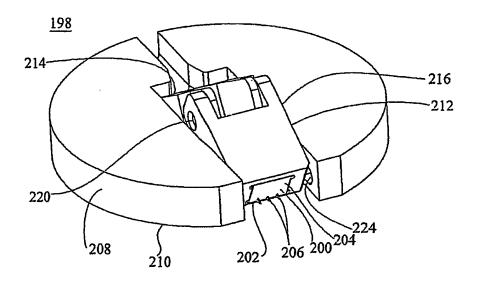
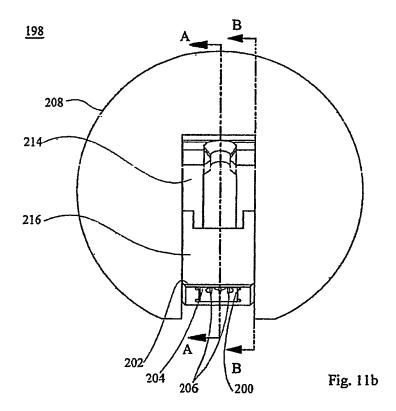
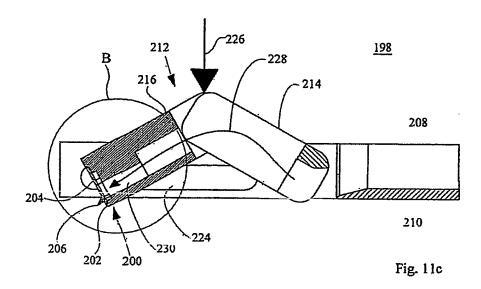
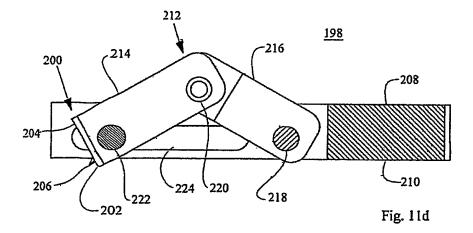


Fig. 11a







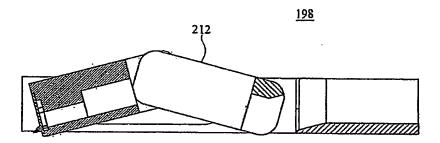


Fig. 1 ie

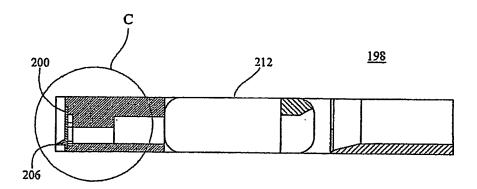
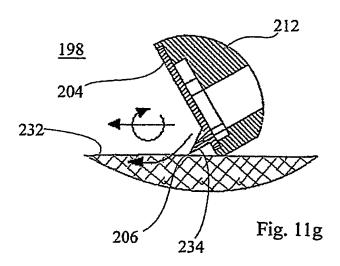
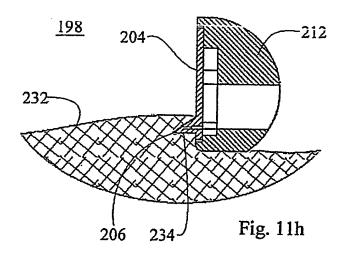


Fig. 11f





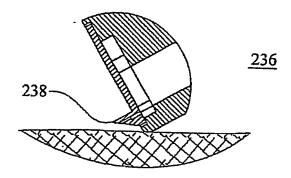


Fig. 11i

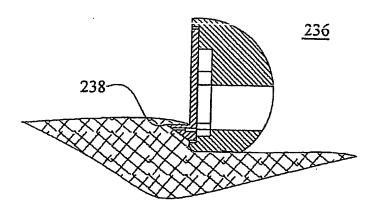


Fig. 11j